

# 1 Fundamentos teóricos

Considere um sistema de coordenadas Cartesianas com origem na superfície da Terra e eixo  $z$  apontado para baixo (Fig. 1). Seja  $V(x, y, z)$  o potencial magnético escalar produzido, no ponto de observação  $(x, y, z)$  (referido ao sistema da fonte, Fig. 1), por uma fonte 3D com volume  $v$  e direção de magnetização total uniforme. Neste caso  $V(x, y, z)$  pode ser escrito da seguinte forma:

$$V(x, y, z) = -\nabla U(x, y, z) \cdot \hat{\mathbf{m}}, \quad (1)$$

em que  $\hat{\mathbf{m}}$  é um vetor unitário que define a direção de magnetização total da fonte,

$$U(x, y, z) = \gamma_m \iiint_v m(x', y', z') \frac{1}{r} dv', \quad (2)$$

$\gamma_m$  é uma constante,  $m(x', y', z')$  é a intensidade de magnetização total no ponto  $(x', y', z')$  dentro da fonte,  $\nabla$  é o operador gradiente aplicado às coordenadas  $x, y$  e  $z$  do ponto de observação e

$$\frac{1}{r} = \frac{1}{\sqrt{(x-x')^2 + (y-y')^2 + (z-z')^2}}. \quad (3)$$

O campo de indução magnética produzido pela fonte é definido da seguinte forma:

$$\begin{aligned} \mathbf{B}(x, y, z) &= -\nabla V(x, y, z) \\ &= \mathbf{H}(x, y, z) \cdot \hat{\mathbf{m}}, \end{aligned} \quad (4)$$

em que

$$\mathbf{H}(x, y, z) = \begin{bmatrix} \partial_{xx}U & \partial_{xy}U & \partial_{xz}U \\ \partial_{xy}U & \partial_{yy}U & \partial_{yz}U \\ \partial_{xz}U & \partial_{yz}U & \partial_{zz}U \end{bmatrix}, \quad (5)$$

$\partial_{\beta\eta}U \equiv \frac{\partial^2 U(x, y, z)}{\partial_\beta \partial_\eta}$ ,  $\beta = x, y, z$ ,  $\eta = x, y, z$ , são derivadas segundas da função  $U(x, y, z)$  (eq. 2) em relação as coordenadas  $x, y$  e  $z$  do ponto de observação.

Considere que a fonte é 2D, com extensão infinita na direção  $y$  do Sistema da fonte (representado em preto na Fig. 1). Neste caso,  $U(x, y, z)$  (eq. 2) é reescrito da seguinte forma:

$$U(x, y, z) = \gamma_m \iint_S m(x', z') \left[ \int_{-\infty}^{+\infty} \frac{1}{\ell} dy' \right] dx' dz', \quad (6)$$

em que  $S$  é a área da seção vertical da fonte no plano  $x-z$ ,  $m(x', z')$  é a intensidade de magnetização, que varia apenas ao longo dos eixos  $x$  e  $z$ , e

$$\frac{1}{\ell} = \frac{1}{\sqrt{(x-x')^2 + (z-z')^2}}. \quad (7)$$

Na eq. 6, o termo entre colchetes é dado por

$$\int_{-\infty}^{+\infty} \frac{1}{\ell} dy' = 2 \log \frac{1}{\ell}. \quad (8)$$

Substituindo o limite acima (eq. 8) na equação 6, obtemos

$$\tilde{U}(x, z) = 2\gamma_m \iint_S m(x', z') \log \frac{1}{\ell} dx' dz'. \quad (9)$$

Note que a função  $U(x, y, z)$  (eq. 2) associada a uma fonte magnética 3D torna-se a função  $\tilde{U}(x, z)$  (eq. 9), que varia apenas ao longo dos eixos  $x$  e  $z$  do sistema de coordenadas da fonte (Fig. 1). Consequentemente, o potencial magnético escalar  $V(x, y, z)$  (eq. 1) e a indução magnética  $\mathbf{B}(x, y, z)$  (eq. 4) tornam-se

$$\tilde{V}(x, z) = -\nabla \tilde{U}(x, z) \cdot \hat{\mathbf{m}} \quad (10)$$

e

$$\begin{aligned}\tilde{\mathbf{B}}(x, z) &= -\nabla \tilde{V}(x, z) \\ &= \tilde{\mathbf{H}}(x, z) \cdot \hat{\mathbf{m}}\end{aligned}\quad (11)$$

em que

$$\tilde{\mathbf{H}}(x, z) = \begin{bmatrix} \partial_{xx}\tilde{U} & 0 & \partial_{xz}\tilde{U} \\ 0 & 0 & 0 \\ \partial_{xz}\tilde{U} & 0 & \partial_{zz}\tilde{U} \end{bmatrix}, \quad (12)$$

e  $\partial_{\beta\eta}\tilde{U} \equiv \frac{\partial^2 \tilde{U}(x, z)}{\partial \beta \partial \eta}$ ,  $\beta = x, z$ ,  $\eta = x, z$ , são derivadas segundas da função  $\tilde{U}(x, z)$  (eq. 9) em relação as coordenadas  $x$  e  $z$  do ponto de observação.

Note que a segunda linha da matriz  $\tilde{\mathbf{H}}(x, z)$  (eq. 12) é formado por zeros. Isso significa que, no Sistema da fonte (Fig. 1), a componente  $y$  da indução magnética  $\tilde{\mathbf{B}}(x, z)$  (eq. 11) é nula, ainda que a componente  $y$  da magnetização total da fonte seja não nula. Para entender esta propriedade, vamos primeiro definir o vetor unitário

$$\hat{\mathbf{m}} = \begin{bmatrix} \cos I \cos D \\ \cos I \sin D \\ \sin I \end{bmatrix}, \quad (13)$$

que é definido em função da inclinação  $I$  e da declinação  $D$  da magnetização total da fonte, no Sistema dos dados (Fig. 1). Para obter a magnetização total da fonte no Sistema da fonte, é necessário transformar o vetor unitário  $\hat{\mathbf{m}}$  (eq. 13) no vetor unitário  $\hat{\mathbf{m}}$  (eqs. 10 e 11). Esta transformação é dada por:

$$\hat{\mathbf{m}} = \hat{\mathbf{m}}_{\parallel} + \hat{\mathbf{m}}_{\perp}, \quad (14)$$

em que

$$\begin{aligned}\hat{\mathbf{m}}_{\parallel} &= \begin{bmatrix} 0 & 0 & 0 \\ -\cos \alpha & \sin \alpha & 0 \\ 0 & 0 & 0 \end{bmatrix} \hat{\mathbf{m}} \\ &= \begin{bmatrix} 0 \\ -\cos(D + \alpha) \cos I \\ 0 \end{bmatrix}\end{aligned}\quad (15)$$

é um vetor paralelo à fonte (definido ao longo do eixo  $y$  do Sistema da fonte),

$$\begin{aligned}\hat{\mathbf{m}}_{\perp} &= \begin{bmatrix} \sin \alpha & \cos \alpha & 0 \\ 0 & 0 & 0 \\ 0 & 0 & 1 \end{bmatrix} \hat{\mathbf{m}} \\ &= \begin{bmatrix} \sin(D + \alpha) \cos I \\ 0 \\ \sin I \end{bmatrix}\end{aligned}\quad (16)$$

é perpendicular à fonte 2D (no Sistema da fonte) e  $\alpha$  é o azimuth da fonte 2D (Fig. 1). Uma expressão alternativa pode ser obtida em função do ângulo  $\theta$  (Fig. 1). Utilizando as eqs. 14–16, é possível reescrever a indução magnética  $\tilde{\mathbf{B}}(x, z)$  (eq. 11) da seguinte forma:

$$\tilde{\mathbf{B}}(x, z) = \tilde{\mathbf{H}}(x, z) \cdot \hat{\mathbf{m}}_{\parallel} + \tilde{\mathbf{H}}(x, z) \cdot \hat{\mathbf{m}}_{\perp}. \quad (17)$$

Como a segunda linha da matriz  $\tilde{\mathbf{H}}(x, z)$  (eq. 12) é formada por zeros, o termo que depende de  $\hat{\mathbf{m}}_{\parallel}$  (eq. 15) da eq. 17 é igual ao vetor nulo. Portanto, a indução magnética  $\tilde{\mathbf{B}}(x, z)$  produzida pela fonte 2D, no Sistema da fonte (Fig. 1), é dada por

$$\tilde{\mathbf{B}}(x, z) = \tilde{\mathbf{H}}(x, z) \cdot \hat{\mathbf{m}}_{\perp}, \quad (18)$$

em que  $\hat{\mathbf{m}}_{\perp}$  (eq. 16) define a componente da magnetização perpendicular à fonte. Note que  $\hat{\mathbf{m}}_{\perp}$  depende do azimuth  $\alpha$  da fonte, bem como da inclinação  $I$  e da declinação  $D$  de sua magnetização total, ambas definidas no Sistema dos dados (Fig. 1).

As equações 14–16 relacionam os vetores  $\hat{\mathbf{m}}$  (eq. 13) e  $\hat{\mathbf{m}}$  (eqs. 10 e 11), que são definidos, respectivamente, no Sistema dos dados e da fonte (Fig. 1). Da mesma

forma, é possível estabelecer uma relação entre a indução magnética  $\tilde{\mathbf{B}}(x, z)$  (eqs. 11, 17 e 18), definida no Sistema da fonte, e a indução magnética  $\mathbf{B}(x, y, z)$ , definida no Sistema dos dados. Esta relação é dada por:

$$\tilde{\mathbf{B}}(x, z) = \begin{bmatrix} \sin \alpha & \cos \alpha & 0 \\ 0 & 0 & 0 \\ 0 & 0 & 1 \end{bmatrix} \mathbf{B}(x, y, z) + \begin{bmatrix} 0 & 0 & 0 \\ -\cos \alpha & \sin \alpha & 0 \\ 0 & 0 & 0 \end{bmatrix} \mathbf{B}(x, y, z) \quad , \quad (19)$$

em que o primeiro termo do lado direito representa a componente da indução magnética perpendicular e o segundo termo é a componente paralela à fonte 2D. É importante ressaltar que a indução magnética  $\mathbf{B}(x, y, z)$  produzida pela fonte 2D, no Sistema dos dados, não possui nenhuma componente nula. Já a indução  $\tilde{\mathbf{B}}(x, z)$  produzida pela fonte 2D no Sistema da fonte possui a componente  $y$  nula.

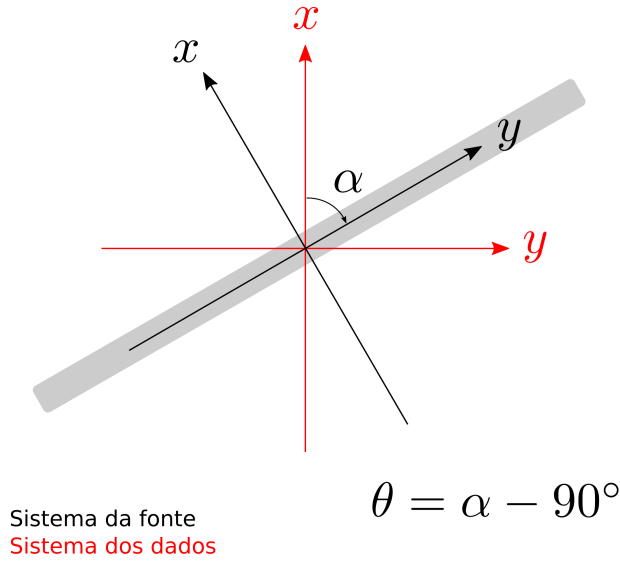


Figure 1: Sistemas de coordenadas Cartesianas da fonte (em preto) e dos dados (em vermelho). Ambos os sistemas possuem eixo  $z$  apontado para o interior da Terra (em direção ao plano da folha/tela). A origem deste sistema está localizada sobre uma fonte magnética 2D, cuja projeção no plano horizontal está representada em cinza. Esta fonte tem azimuth  $\alpha$  (positivo no sentido horário).